

## TPLL01 - Mur plan infini en thermique linéaire

---

### Résumé :

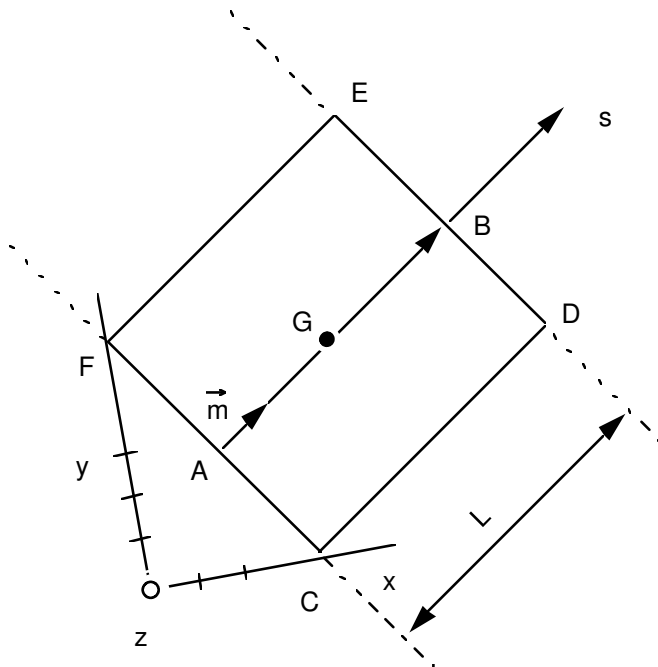
Ce cas test porte sur un calcul de thermique stationnaire linéaire. Il comprend 10 modélisations qui testent les éléments 2D et 3D.

Ce cas test présente plusieurs intérêts :

- **pour les modélisations de A à I**, il teste sur presque tous les éléments 3D et 2D (sauf 2D\_AXIS, PYRAM et lumpés), le calcul des options de base de thermique linéaire : "rigidité", "masse", échange, flux imposé, température imposée,
- **dans la modélisation J**, on calcule une cartographie d'erreur spatiale via l'option ERTH\_ELEM de CALC\_ERREUR sur laquelle va s'appuyer, dans une boucle Python, l'outil de raffinement/déaffinement HOMARD encapsulé dans MACR\_ADAP\_MAIL.
- L'orientation du mur est quelconque par rapport aux axes de coordonnées,
- C'est un des rares cas-tests à tester des éléments TETRA10 et QUAD9 en thermique linéaire et à combiner les commandes AFFE\_CHAR\_THER / LIAISON\_DDL.

## 1 Problème de référence

### 1.1 Géométrie



Le problème correspond à un mur infini :  
CF et DE quelconque

$$L = 0.05 \text{ m}$$

$$C = \{0.03, 0.0, 0.0\}$$

$$F = \{0.0, 0.04, 0.0\}$$

$$A = \{0.015, 0.02, 0.0\}$$

### 1.2 Propriétés de matériaux

$\lambda = 0.75 \text{ W/m}^\circ\text{C}$  Conductivité thermique

$\rho C_p = 2. \text{ J/m}^3 \text{ }^\circ\text{C}$  Chaleur volumique

### 1.3 Conditions aux limites et chargements

- $[FE]$  et  $[CD]$  : flux nul
- $[FA]$  : convection libre ( $h = 30 \text{ W/m}^2 \text{ }^\circ\text{C}$ ,  $T^e = 140 \text{ }^\circ\text{C}$ )
- $[AC]$  : température imposée  $T^i = 100 \text{ }^\circ\text{C}$
- $[ED]$  : densité de flux imposé  $\varphi^i = -1200 \text{ W/m}^2$ , (flux sortant)

### 1.4 Conditions initiales

Pour faire ce calcul stationnaire, on fait un calcul transitoire (sauf pour les modélisations A et G) pour lequel les conditions aux limites sont constantes dans le temps. Ceci permet de tester les calculs élémentaires de masse intervenant dans le premier membre ainsi que le deuxième membre.

## 2 Solution de référence

---

### 2.1 Méthode de calcul utilisée pour la solution de référence

$$T(s) = T_A + (T_B - T_A) \cdot \frac{s}{L} \quad S = \overline{AM} \quad M \text{ point courant}$$

$$\vec{\Phi} = -\lambda \cdot \frac{T_B - T_A}{L} \cdot \vec{m}$$

### 2.2 Résultats de référence

Températures et flux aux points  $A$ ,  $B$ ,  $G$ .

### 2.3 Incertitude sur la solution

Solution analytique.

### 2.4 Références

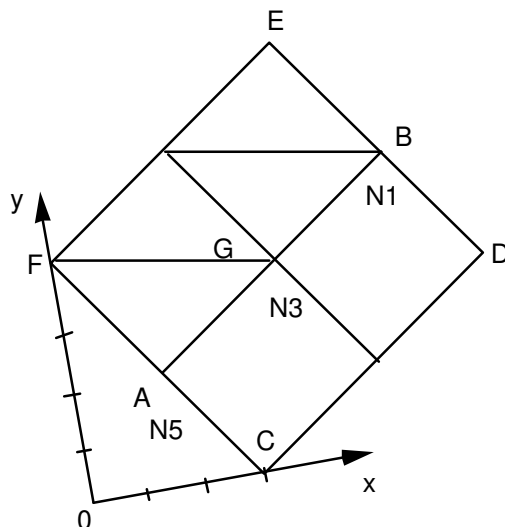
Cas test VPCS TPLL01.

## 3 Modélisation A

### 3.1 Caractéristiques de la modélisation

Plan (QUAD4, TRIA3)

On maille une partie du mur infini, tel que le domaine soit un carré  $\overline{DE} = \overline{CF} = L$  avec 4 mailles TRIA3 et 2 mailles QUAD4.



	x	y	
C	0.03	0	
D	0.07	0.03	
E	0.04	0.07	
F	0	0.04	
A	0.015	0.02	N5
B	0.055	0.05	N1
G	0.035	0.035	N3

### 3.2 Caractéristiques du maillage

Nombre de noeuds : 9

Nombre de mailles et types : 2 QUAD4, 4 TRIA3

### 3.3 Remarques

Pour tester le mot-clé facteur LIAISON\_DDL, on a introduit la relation linéaire (vérifiée par la solution) :  $T(G) - T(B) = 40$ .

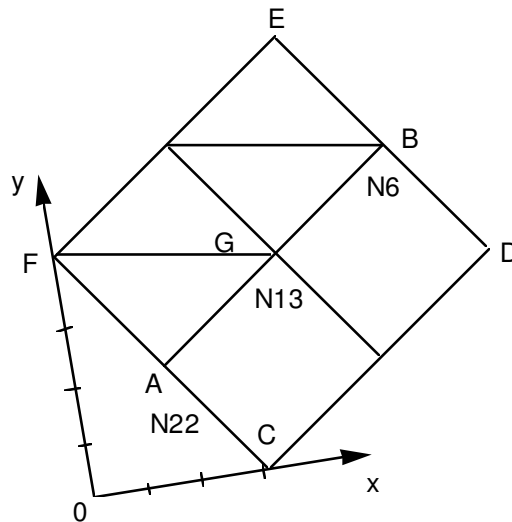
### 3.4 Valeurs testées

Identification	Référence
$T(A) \text{ } ^\circ\text{C}$	100.
$T(B) \text{ } ^\circ\text{C}$	20.
$T(G) \text{ } ^\circ\text{C}$	60.
$\vec{\phi}(m) \cdot \vec{i} \text{ (}\nabla m\text{) } W/m^2$	960.
$\vec{\phi}(m) \cdot \vec{j} \text{ (}\nabla m\text{) } W/m^2$	720.

## 4 Modélisation B

### 4.1 Caractéristiques de la modélisation

Plan (QUAD8, TRIA6)



	x	y	
C	0.03	0	
D	0.07	0.03	
E	0.04	0.07	
F	0	0.04	
A	0.015	0.02	N22
B	0.055	0.05	N6
G	0.035	0.035	N13

### 4.2 Caractéristiques du maillage

Nombre de noeuds : 23

Nombre de mailles et types : 4 TRIA6, 2 QUAD8

### 4.3 Remarque

Pour tester le mot clé facteur LIAISON\_DDL , on a introduit la relation linéaire (vérifiée par la solution)  
 $T(G) - T(B) = 40$ .

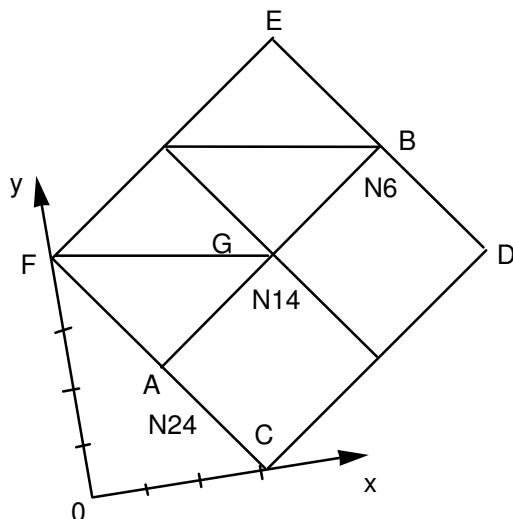
### 4.4 Valeurs testées

Identification	Référence
$T(A) \text{ } ^\circ\text{C}$	100.
$T(B) \text{ } ^\circ\text{C}$	20.
$T(G) \text{ } ^\circ\text{C}$	60.
$\vec{\Phi}(m) \cdot \vec{i} \text{ } (\nabla m) \text{ } W/m^2$	960.
$\vec{\Phi}(m) \cdot \vec{j} \text{ } (\nabla m) \text{ } W/m^2$	720.

## 5 Modélisation C

### 5.1 Caractéristiques de la modélisation

Plan (QUAD8, TRIA6)



	x	y	
C	0.03	0	
D	0.07	0.03	
E	0.04	0.07	
F	0	0.04	
A	0.015	0.02	N24
B	0.055	0.05	N6
G	0.035	0.035	N14

### 5.2 Caractéristiques du maillage

Nombre de noeuds : 25

Nombre de mailles et types : 4 TRIA6, 2 QUAD9

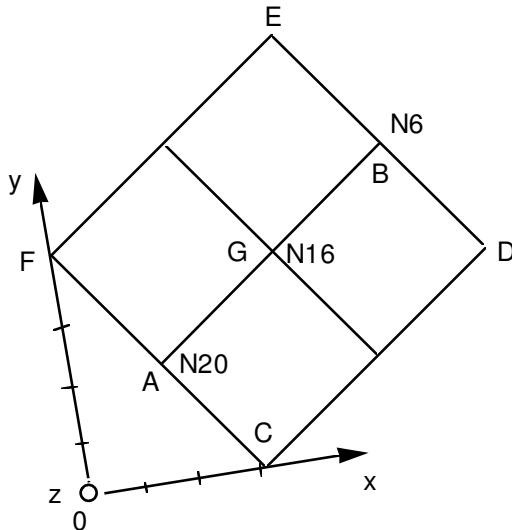
### 5.3 Valeurs testées

Identification	Référence
$T(A) \text{ } ^\circ\text{C}$	100.
$T(B) \text{ } ^\circ\text{C}$	20.
$T(G) \text{ } ^\circ\text{C}$	60.
$\vec{\varphi}(m) \cdot \vec{i} \text{ (}\nabla m\text{) } W/m^2$	960.
$\vec{\varphi}(m) \cdot \vec{j} \text{ (}\nabla m\text{) } W/m^2$	720.

## 6 Modélisation D

### 6.1 Caractéristiques de la modélisation

Volumique (HEXA8)



	x	y	z	
C	0.03	0	0	
D	0.07	0.03	0	
E	0.04	0.07	0	
F	0	0.04	0	
A	0.015	0.02	0	N20
B	0.055	0.05	0	N6
G	0.035	0.035	0	N16

### 6.2 Caractéristiques du maillage

Nombre de noeuds : 21

Nombre de mailles et types : 4 HEXA8 + 20 QUAD4

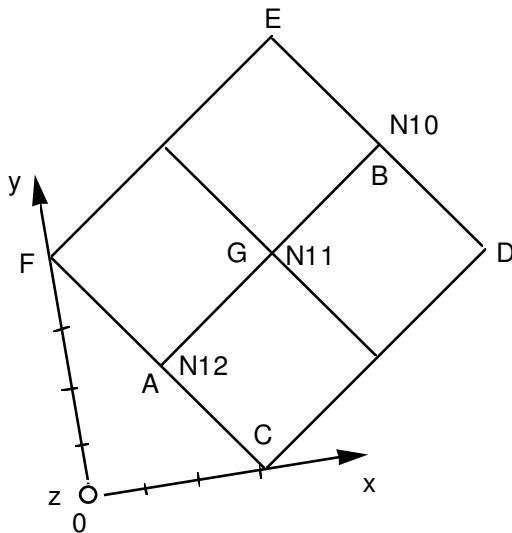
### 6.3 Valeurs testées

Identification	Référence
$T(A) \text{ } ^\circ\text{C}$	100.
$T(B) \text{ } ^\circ\text{C}$	20.
$T(G) \text{ } ^\circ\text{C}$	60.
$\vec{\Phi}(m) \cdot \vec{i} \text{ (}\nabla m\text{) } W/m^2$	960.
$\vec{\Phi}(m) \cdot \vec{j} \text{ (}\nabla m\text{) } W/m^2$	720.

## 7 Modélisation E

### 7.1 Caractéristiques de la modélisation

Volumique (PENTA6)



	x	y	z	
C	0.03	0	0	
D	0.07	0.03	0	
E	0.04	0.07	0	
F	0	0.04	0	
A	0.015	0.02	0	N12
B	0.055	0.05	0	N10
G	0.035	0.035	0	N11

### 7.2 Caractéristiques du maillage

Nombre de noeuds : 21

Nombre de mailles et types : 8 PENTA6 + 8 TRIA3 + 16 QUAD4

### 7.3 Valeurs testées

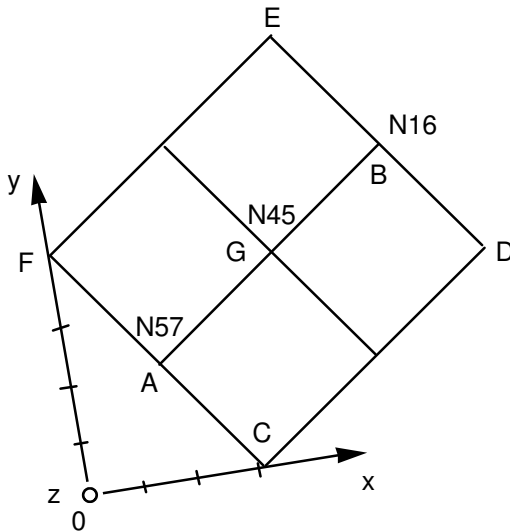
Identification	Référence
$T(A) \text{ } ^\circ\text{C}$	100.
$T(B) \text{ } ^\circ\text{C}$	20.
$T(G) \text{ } ^\circ\text{C}$	60.
$\vec{\Phi}(m) \cdot \vec{i} \text{ (}\nabla m\text{) } W/m^2$	960.
$\vec{\Phi}(m) \cdot \vec{j} \text{ (}\nabla m\text{) } W/m^2$	720.



## 8 Modélisation F

### 8.1 Caractéristiques de la modélisation

Volumique (HEXA20)



	x	y	z	
C	0.03	0	0	
D	0.07	0.03	0	
E	0.04	0.07	0	
F	0	0.04	0	
A	0.015	0.02	0	N57
B	0.055	0.05	0	N16
G	0.035	0.035	0	N45

### 8.2 Caractéristiques du maillage

Nombre de noeuds : 59

Nombre de mailles et types : 4 HEXA20 + 20 QUAD8

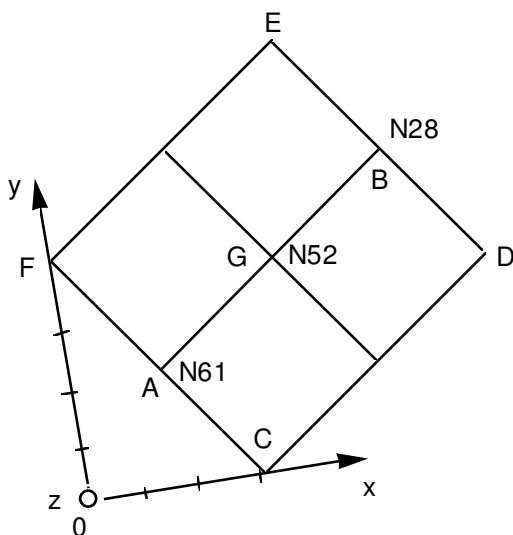
### 8.3 Valeurs testées

Identification	Référence
$T(A) \text{ } ^\circ\text{C}$	100.
$T(B) \text{ } ^\circ\text{C}$	20.
$T(G) \text{ } ^\circ\text{C}$	60.
$\vec{\Phi}(m) \cdot \vec{i} \text{ (}\nabla m\text{) } W/m^2$	960.
$\vec{\Phi}(m) \cdot \vec{j} \text{ (}\nabla m\text{) } W/m^2$	720.

## 9 Modélisation G

### 9.1 Caractéristiques de la modélisation

Volumique (PENTA15)



	x	y	z	
C	0.03	0	0	
D	0.07	0.03	0	
E	0.04	0.07	0	
F	0	0.04	0	
A	0.015	0.02	0	N61
B	0.055	0.05	0	N28
G	0.035	0.035	0	N52

### 9.2 Caractéristiques du maillage

Nombre de noeuds : 65

Nombre de mailles et types : 8 PENTA15 + 8 TRIA6 + 16 QUAD8

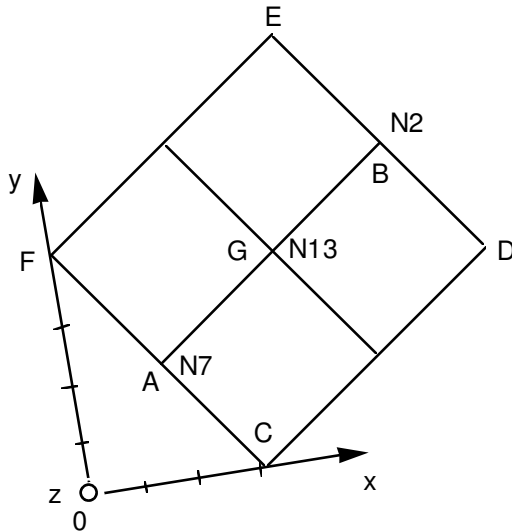
### 9.3 Valeurs testées

Identification	Référence
$T(A) \text{ } ^\circ\text{C}$	100.
$T(B) \text{ } ^\circ\text{C}$	20.
$T(G) \text{ } ^\circ\text{C}$	60.
$\vec{\Phi}(m) \cdot \vec{i} \text{ (}\nabla m\text{) } W/m^2$	960.
$\vec{\Phi}(m) \cdot \vec{j} \text{ (}\nabla m\text{) } W/m^2$	720.

## 10 Modélisation H

### 10.1 Caractéristiques de la modélisation

Volumique (TETRA4)



	x	y	z	
C	0.03	0	0	
D	0.07	0.03	0	
E	0.04	0.07	0	
F	0	0.04	0	
A	0.015	0.02	0	N7
B	0.055	0.05	0	N2
G	0.035	0.035	0	N13

### 10.2 Caractéristiques du maillage

Nombre de noeuds : 18

Nombre de mailles et types : 20 TETRA4 + 6 TRIA3 + 16 QUAD8

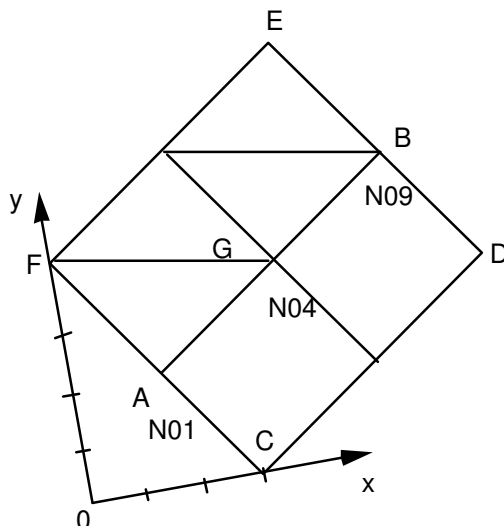
### 10.3 Valeurs testées

Identification	Référence
$T(A) \text{ } ^\circ\text{C}$	100.
$T(B) \text{ } ^\circ\text{C}$	20.
$T(G) \text{ } ^\circ\text{C}$	60.
$\vec{\Phi}(m) \cdot \vec{i} \text{ (}\nabla m\text{) } W/m^2$	960.
$\vec{\Phi}(m) \cdot \vec{j} \text{ (}\nabla m\text{) } W/m^2$	720.

## 11 Modélisation I

### 11.1 Caractéristiques de la modélisation

Volumique (TETRA10)



	x	y	
C	0.03	0	
D	0.07	0.03	
E	0.04	0.07	
F	0	0.04	
A	0.015	0.02	N01
B	0.055	0.05	N09
G	0.035	0.035	N04

### 11.2 Caractéristiques du maillage

Nombre de noeuds : 125

Nombre de mailles et types : 48 TETRA10 + 16 TRIA6

### 11.3 Valeurs testées

Identification	Référence
$T(A) ^\circ C$	100.
$T(B) ^\circ C$	20.
$T(G) ^\circ C$	60.
$\vec{\Phi}(m) \cdot \vec{i} (\nabla m) W/m^2$	960.
$\vec{\Phi}(m) \cdot \vec{j} (\nabla m) W/m^2$	720.

## 12 Modélisation J

### 12.1 Caractéristiques de la modélisation

Il s'agit d'un cas test fonctionnel et de non-régression informatique du calcul de l'indicateur d'erreur a posteriori implanté en thermique (cf. [R4.10.03]). Il exhume une cartographie d'erreur spatiale sur laquelle va s'appuyer, dans une boucle Python, l'outil de raffinement/déraffinement HOMARD encapsulé dans MACR\_ADAP\_MAIL (cf. [U7.03.01]).

Le calcul de cette carte d'indicateur d'erreur s'effectue, via l'option 'ERTH\_ELEM' de l'opérateur de post-traitement CALC\_ERREUR, sur un EVOL\_THER (fournit au mot-clé RESULTAT) provenant d'un calcul thermique antérieur (linéaire ou non, transitoire ou stationnaire, isotrope ou orthotrope, via THER\_LINEAIRE ou THER\_NON\_LINE, cf. environnement nécessaire, paramétrage et périmètre d'utilisation [R4.10.03] §6.2/4).

Ce calcul requiert au préalable le recours à l'option 'FLUX\_ELNO' de CALC\_CHAMP qui détermine les valeurs du vecteur flux thermique aux nœuds (cf. exemple d'utilisation [R4.10.03] §6.5).

L'indicateur est constitué de quinze composantes par élément et pour un instant donné. Dans ce cas test, on calcule les quinze composantes mais la procédure de raffinement/déraffinement ne s'appuie que sur la composante ERTABS qui représente l'erreur spatiale totale absolue (cf. [R4.10.03] §6.3).

Afin de pouvoir post-traiter via POST\_RELEVE ou GIBI, on a besoin d'extrapoler des champs par élément en des champs aux nœuds par élément. Le rajout de l'option 'ERTH\_ELNO\_ELEM' (après l'appel à 'ERTH\_ELEM\_TEMP') permet d'effectuer cette transformation purement informatique. Pour un instant et un élément fini donné, elle ne fait que dupliquer les quinze composantes de l'indicateur sur chaque nœud de l'élément.

Cette modélisation constitue donc autant un exemple d'utilisation, dans une boucle PYTHON, des couplages « calcul d'indicateur »/ « raffinement/déraffinement de maillage » possibles, qu'un cas test de non-régression des options 'ERTH\_ELEM\_TEMP' et 'ERTH\_ELNO\_ELEM' et de leurs adhérence avec le processus de remaillage.

Ce cas test reprend les caractéristiques de la modélisation I et de son maillage (TETRA10 + TRIA6) associé.

### 12.2 Valeurs testées

On teste la non-régression informatique de la composante ERTREL (erreur spatiale totale relative) de l'indicateur d'erreur par rapport aux versions V6.2.1 des plate-formes SGI et SUN de Code Aster et de la version V4.3 du logiciel HOMARD. La tolérance relative est donc sévère :  $5 \cdot 10^{-6} \%$ .

Identification	Aster	Tolérance
Valeur de ERTREL sur la maille MA1 avant remaillage	$4.15918735 \cdot 10^{-5}$	$5 \cdot 10^{-8}$
Valeur de ERTREL sur le noeud NO4 avant remaillage	$4.15918735 \cdot 10^{-5}$	$5 \cdot 10^{-8}$
Valeur de ERTREL sur la maille M1 après remaillage	$5.48408914 \cdot 10^{-6}$	$5 \cdot 10^{-7}$

## 13 Synthèse des résultats

---

Le champ solution (linéaire) appartient à l'espace d'interpolation de tous les éléments testés. Les résultats sont donc naturellement excellents.